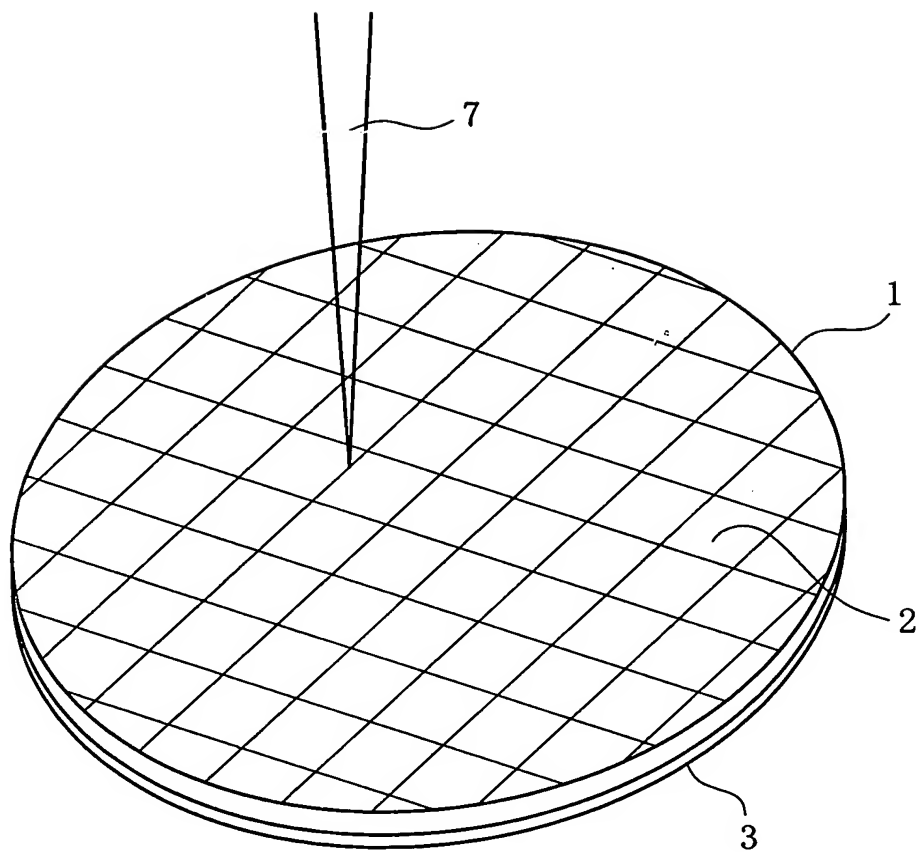


FIG. 1



200220" T9Z4800T

FIG. 2

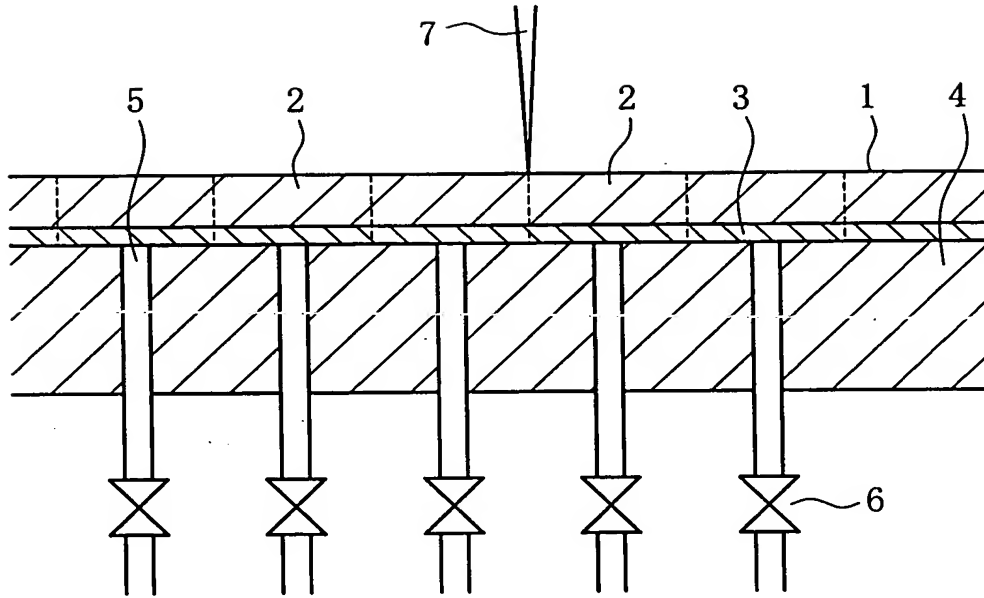


FIG. 3

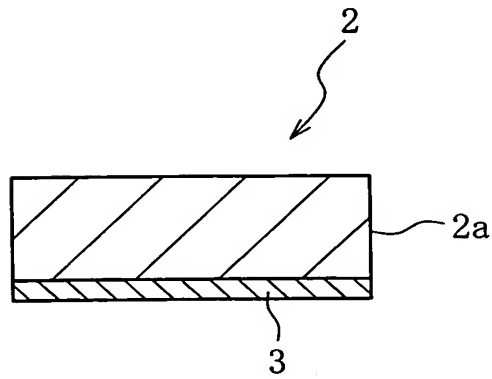


FIG. 4

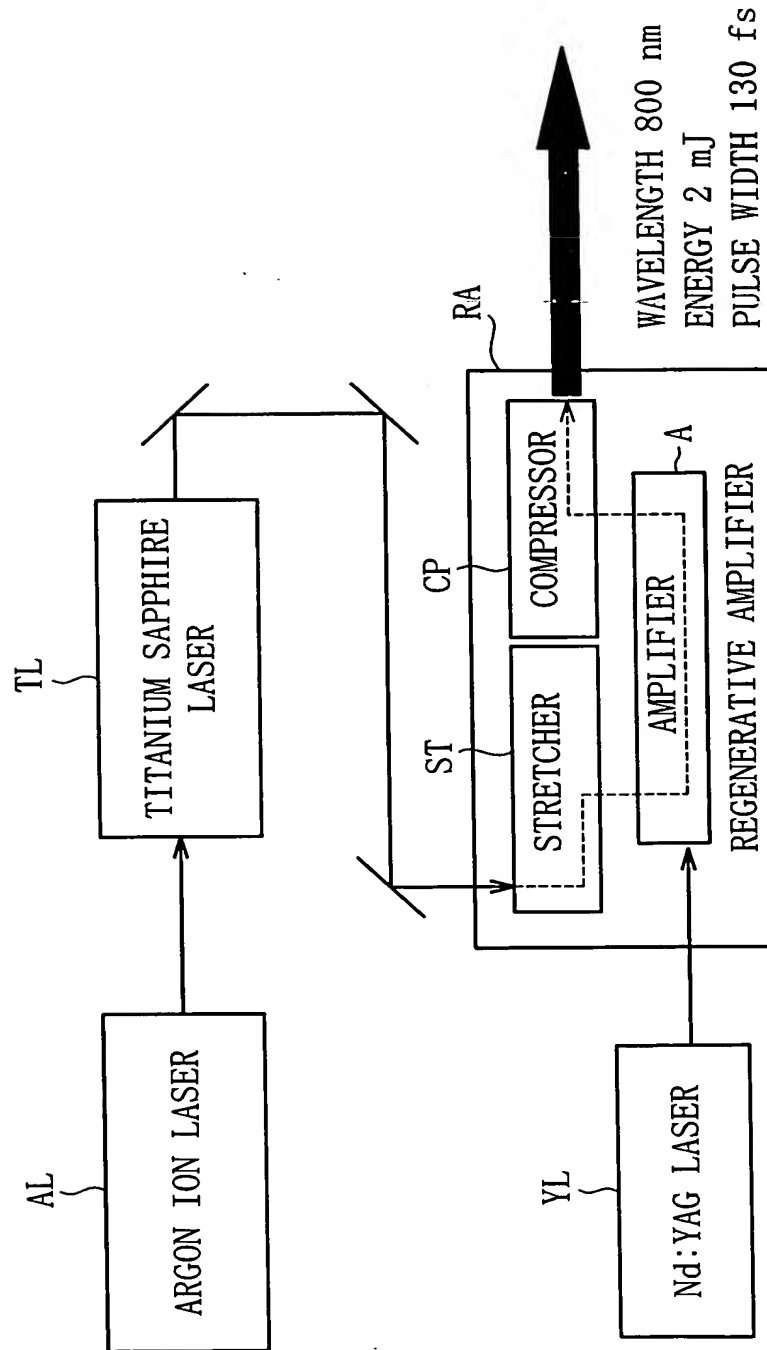


FIG. 5

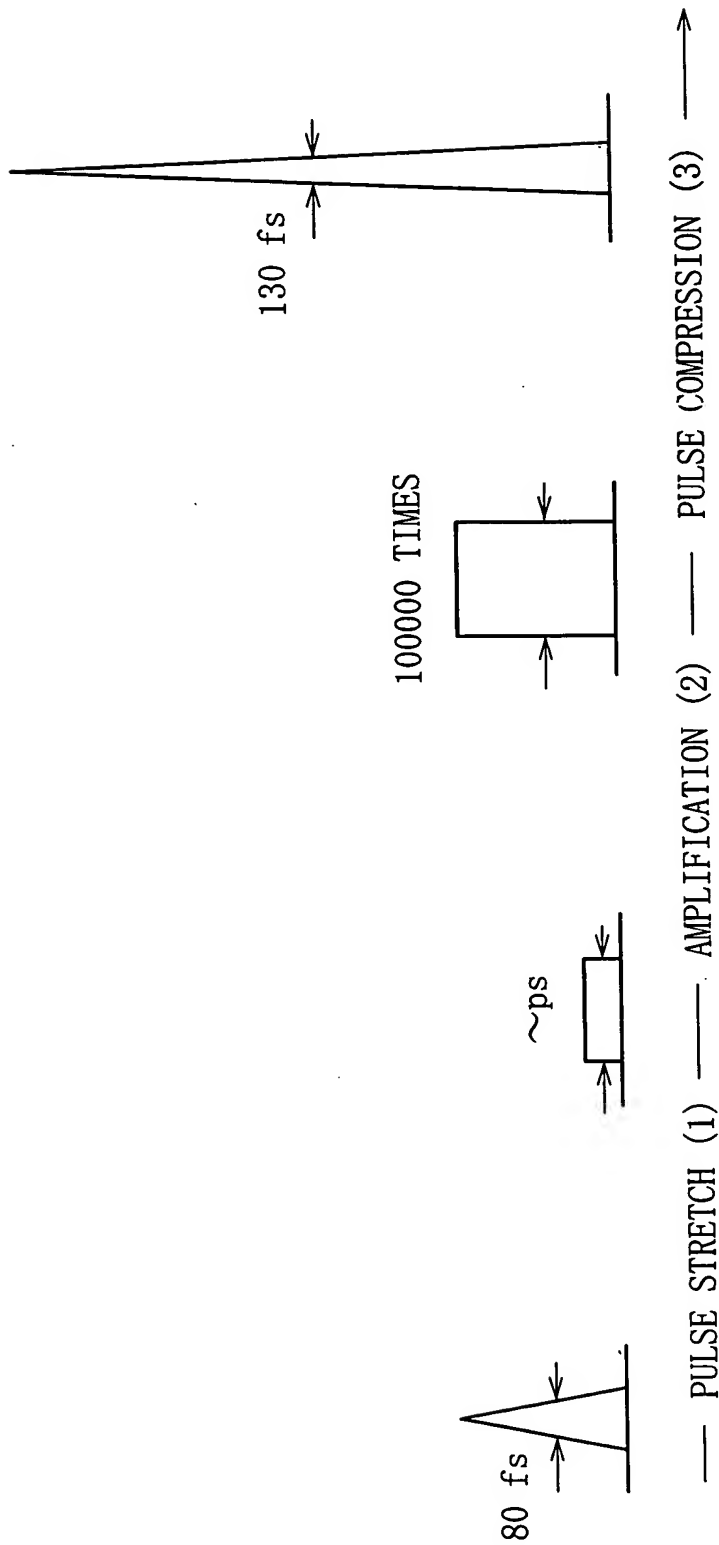


FIG. 6(A)

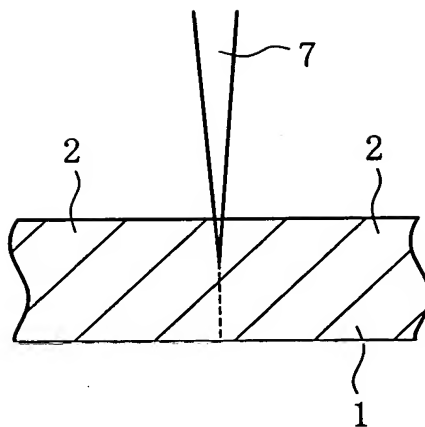


FIG. 6(B)

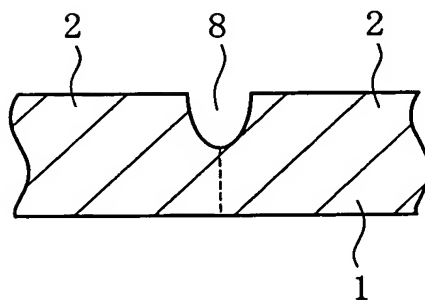


FIG. 6(C)

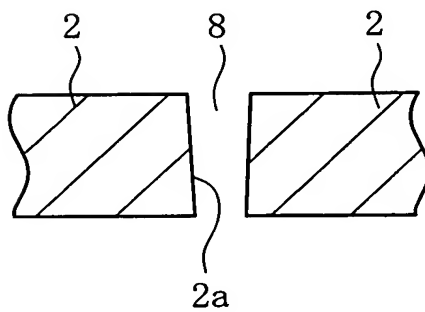
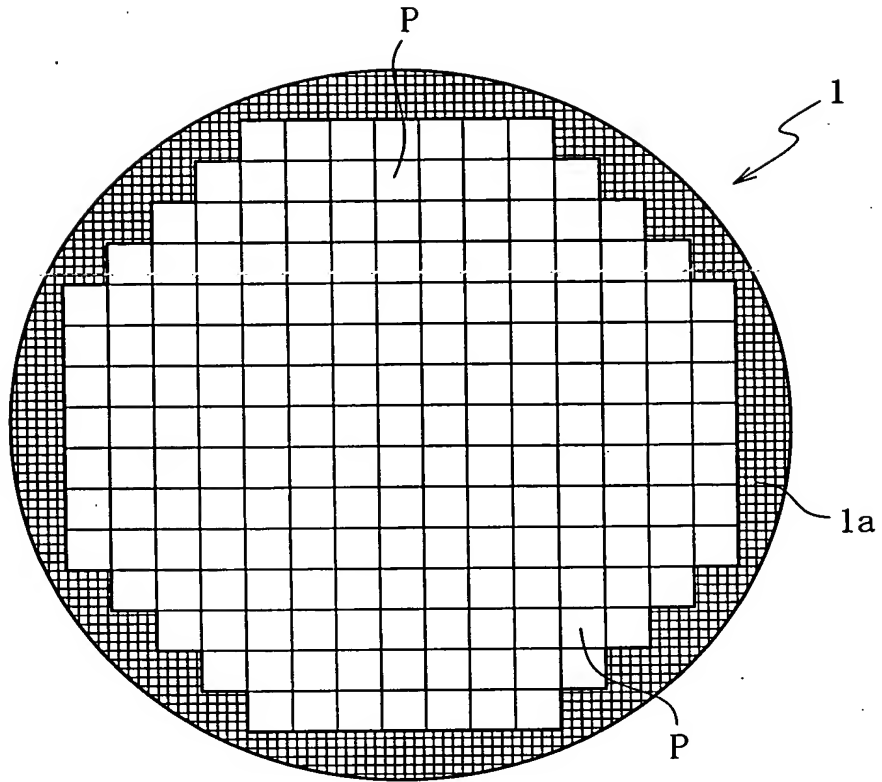
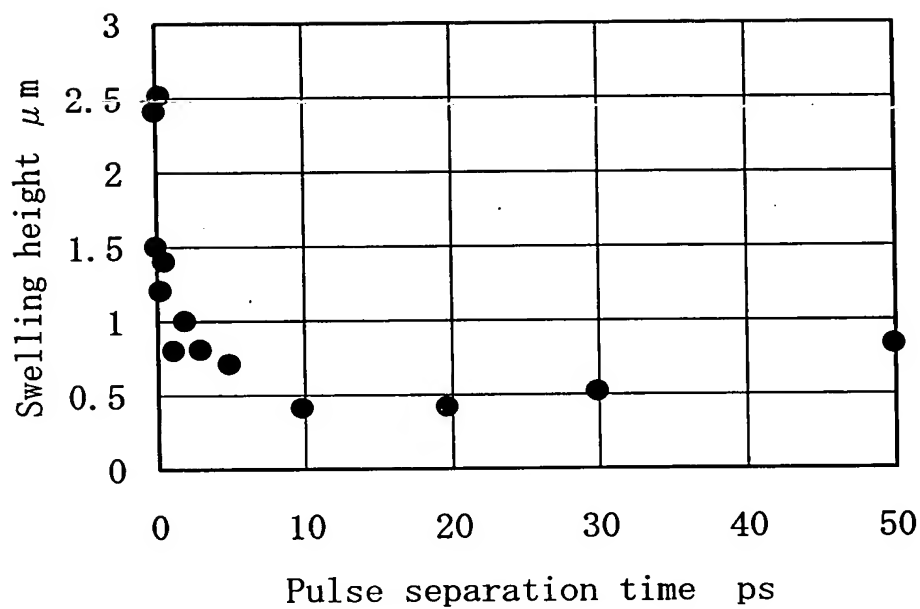


FIG. 7



10084761.022002

FIG. 8



$\tau=120\text{fs}$, $\lambda=800\text{nm}$, $N=18$

W.D.=100mm, $f=100\text{mm}$, $E=0.01\text{mJ/pulse}$

200220" T944800T

FIG. 9(A)

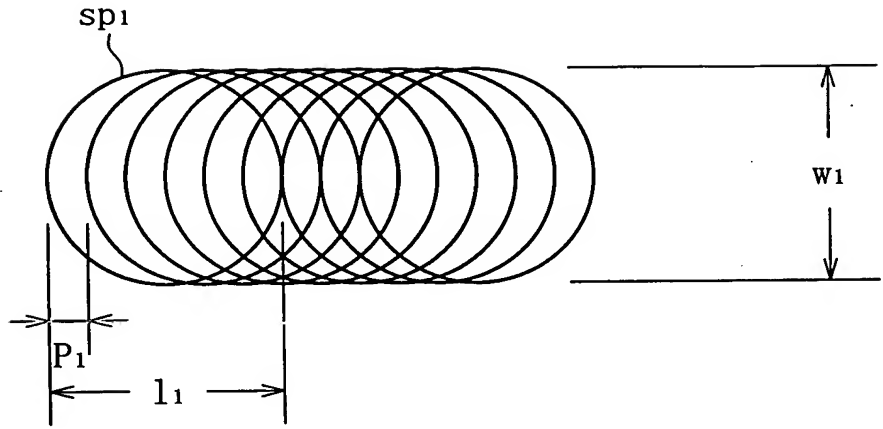


FIG. 9(B)

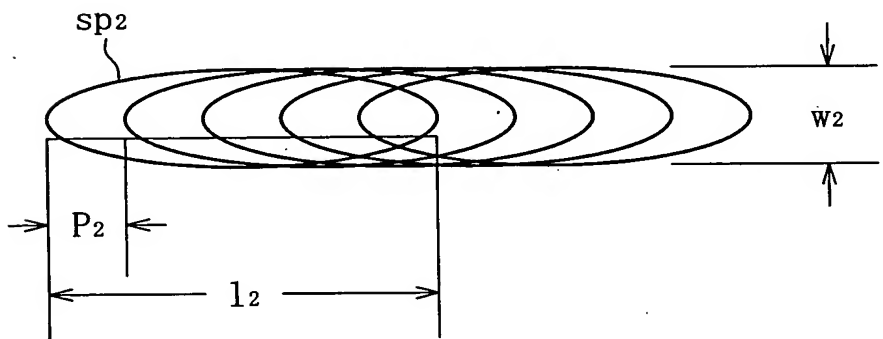


FIG. 9(C)

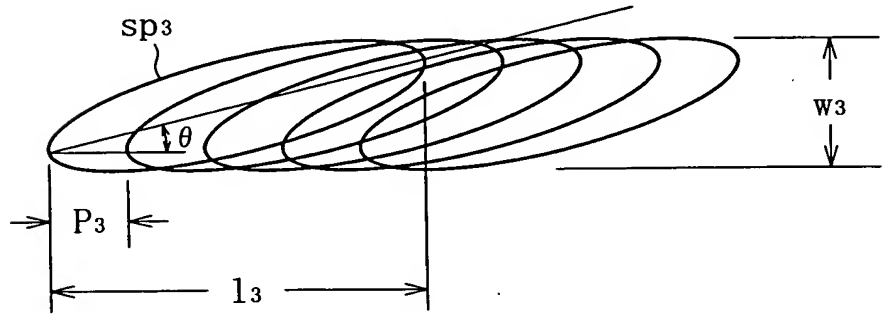
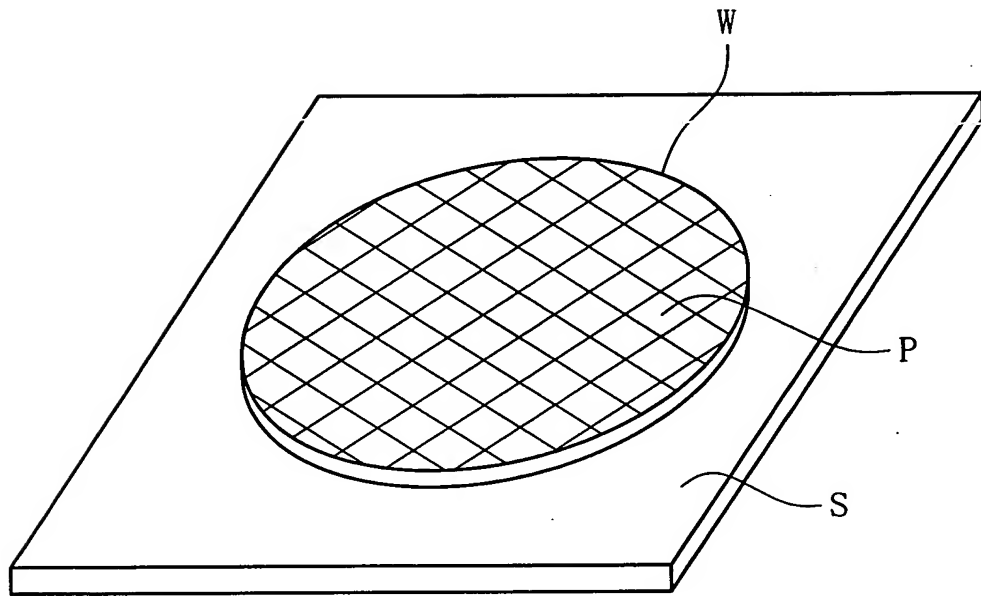
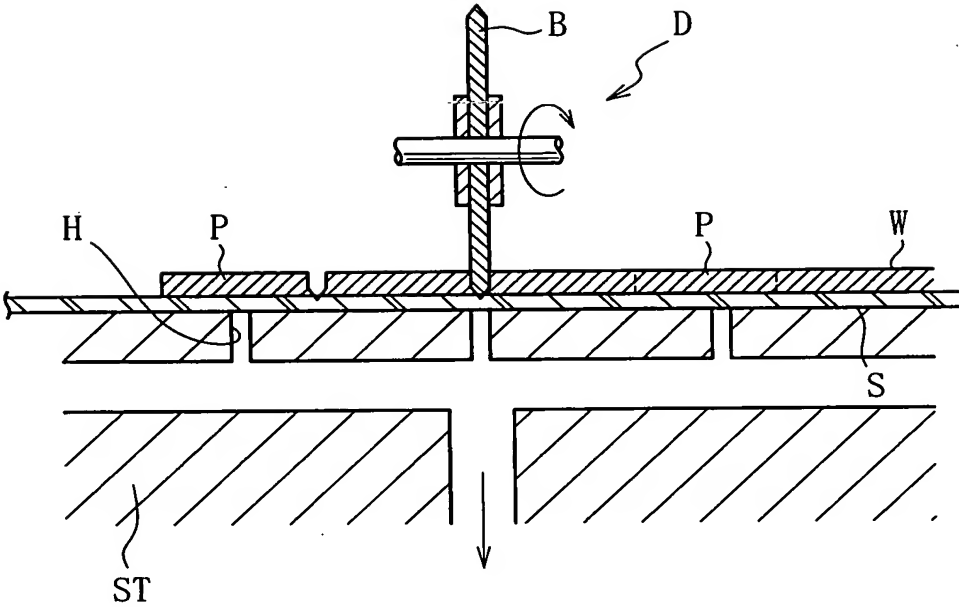


FIG. 10



10084761.022002

FIG. 11



10084761.022002

200220" T924800T

FIG. 12 (A)

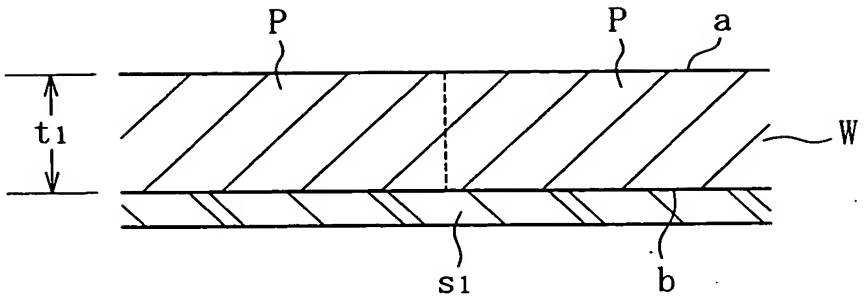


FIG. 12 (B)

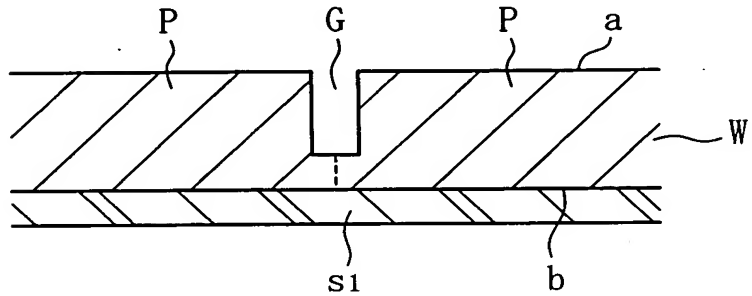


FIG. 12 (C)

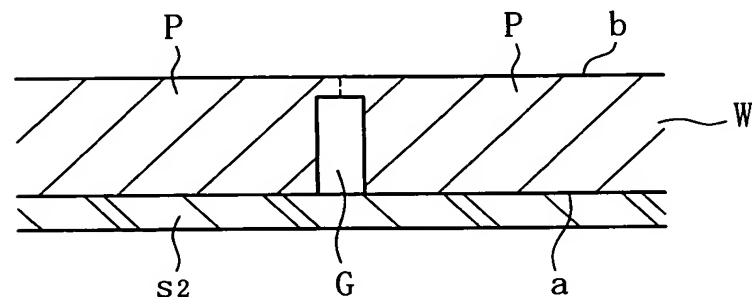
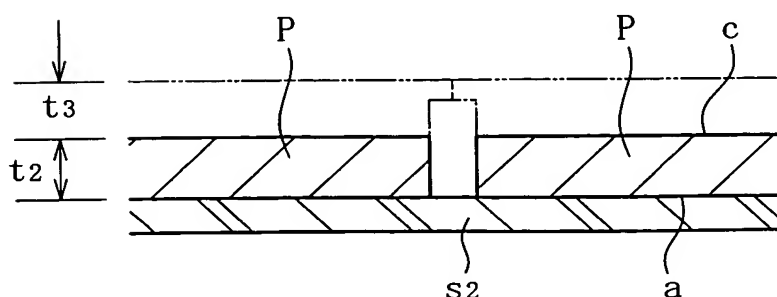


FIG. 12 (D)



200220" T9Z4800T
10084761.022002

FIG. 13(A)

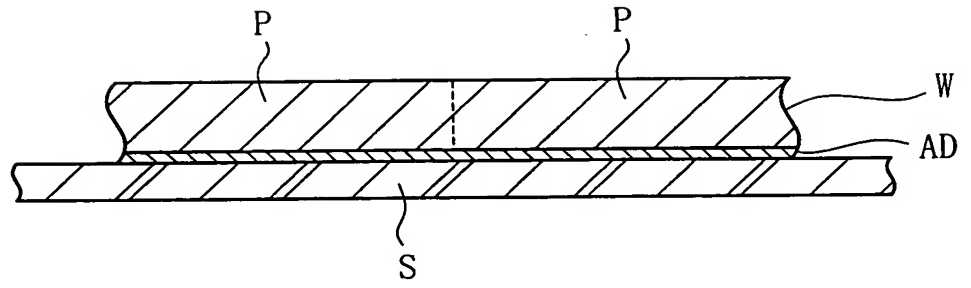


FIG. 13(B)

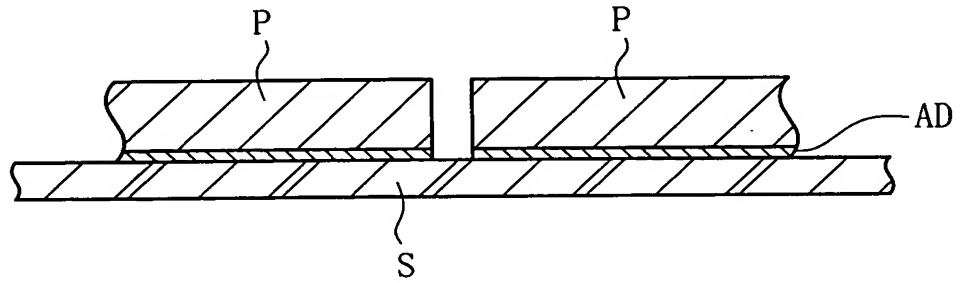


FIG. 13(C)

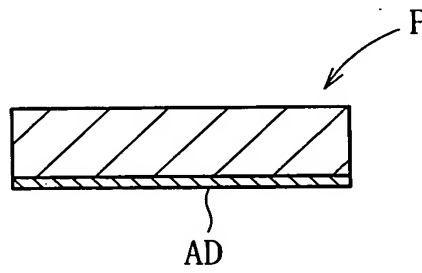


FIG. 13(D)

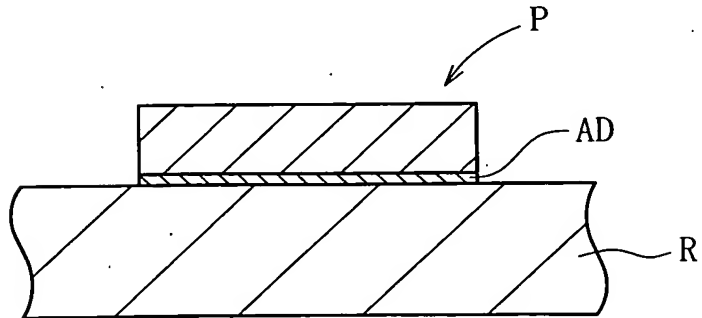


FIG. 14(A)

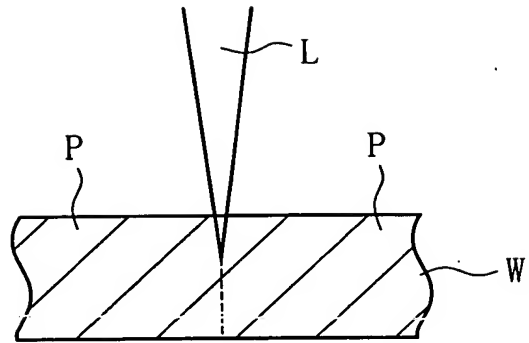


FIG. 14(B)

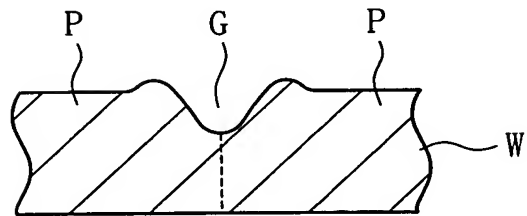


FIG. 14(C)

